

پایش خطوط ساحلی دریاچه ارومیه با استفاده از سنجش از دور

علی اصغر آل شیخ، استادیار گروه GIS دانشکده مهندسی نقشه برداری
عباس علی محمدی، استادیار گروه GIS، دانشکده مهندسی نقشه برداری
علی قربانعلی، دانشجوی کارشناسی ارشد مهندسی سنجش از دور

چکیده

سواحل، مناطق ویژه‌ای هستند که با سه محیط اتمسفر، هیدروسفر و لیتوسفر زمین در تماس بوده و از مهم‌ترین پدیده‌های خطی سطح زمین هستند که از طبیعتی پویا برخوردار می‌باشند. مدیریت بهینه سواحل، و حفاظت از محیط زیست در جهت توسعه پایدار نیازمند استخراج خطوط ساحلی و تغییرات آن‌ها می‌باشد. این مقاله به ارزیابی علمی روشهای متداول تعیین تغییرات خطوط ساحلی با استفاده از تصاویر ماهواره‌ای می‌پردازد. در این مقاله روش جدیدی برای استخراج خطوط ساحلی ارائه و آزمایش شده است که معایب روش‌های متداول را ندارد. الگوریتم پیشنهادی از ترکیب دو روش آستانه‌گذاری بر روی هیستوگرام تصویر و نسبت بین باندها تشکیل شده است. مکان مورد مطالعه این تحقیق دریاچه ارومیه می‌باشد. این دریاچه بیستمین دریاچه بزرگ دنیا و دومین دریاچه به لحاظ شوری است. پایش خطوط ساحلی دریاچه در فاصله زمانی سال‌های ۱۹۸۹ تا ۲۰۰۱ و با استفاده از تصاویر سنجنده‌های TM و ETM+ صورت پذیرفت. با توجه به نتایج به دست آمده از این تحقیق، مساحت دریاچه ۱۰۴۰ کیلو متر مربع در بازه زمانی مورد نظر کاهش یافته است. در این تحقیق، ارتباط تغییرات سطحی دریاچه با اطلاعات ارتفاعی ماهواره TOPEX/POSEIDON مورد بررسی قرار گرفت و تغییر ارتفاع سطح آب دریاچه در فاصله زمانی مورد نظر سه متر برآورد شد. به منظور ارزیابی دقت حاصل از روش پیشنهادی، نتایج با مشاهدات میدانی مطابقت داده شد. دقت خطوط ساحلی استخراج شده برابر ۱/۳ پیکسل (هر پیکسل معادل ۳۰ متر) برآورد شد.

واژگان کلیدی: سنجش از دور، پایش خطوط ساحلی، سنجنده‌های TM،

ETM+ و TOPEX/POSEIDON، آستانه‌گذاری، نسبت بین باندها.

مقدمه

پایش مناطق ساحلی پارامتری مهم در توسعه پایدار و حفاظت از محیط زیست می‌باشد. پایش نواحی ساحلی، نیاز به استخراج خطوط ساحلی در زمان‌های مختلف دارد. خطوط ساحلی از مهم‌ترین پدیده‌های سطح زمین می‌باشند که از طبیعتی پویا برخوردار هستند (Winarso, et al, 2001). فناوری سنجش از دور روشی موثر جهت اخذ داده‌های موردنیاز است. این روش فاقد محدودیت‌های زمانی و مکانی معمول می‌باشد (Alesheikh, et al, 2003). تصاویر اپتیکی در میان داده‌های دور سنجی مزایای زیادی دارند که تفسیر آسان و سهولت دسترسی از آن جمله‌اند. به همین علت اکثر تحقیقات در خصوص استخراج خطوط ساحلی با استفاده از تصاویر اپتیک صورت می‌گیرد. از طرف دیگر مشخصه‌های طیفی آب به گونه‌ای است که در باندهای مادون قرمز انعکاسی نسبت به باندهای مرئی تفاوت بارزی وجود دارد (DeWitt, et al, 2002). همین ویژگی‌های آب سبب شده که تصاویر سنجنده‌هایی که هم باندهای مرئی و هم باندهای مادون قرمز انعکاسی زیادی دارند برای استخراج پایش خطوط ساحلی به طورگسترده مورد استفاده قرار گیرند. سنجنده‌های TM و ETM+ ماهواره‌های لندست از این جمله‌اند (Moore, ۲۰۰۰). هدف این مقاله ارزیابی روش‌های متداول استخراج خطوط ساحلی، ارائه روش نیمه اتوماتیک نوین برای استخراج خطوط ساحلی از تصاویر اپتیکی، اعمال روش پیشنهادی برای پایش خطوط ساحلی دریاچه ارومیه در فاصله سال‌های ۱۹۸۹ تا ۲۰۰۱، محاسبه تغییرات ارتفاعی دریاچه و در نهایت آزمون نتایج می‌باشد.

سابقه تحقیق

از سال ۱۸۰۷ لغایت ۱۹۲۷، تهیه نقشه سواحل تنها از طریق نقشه برداری زمینی صورت می پذیرفت. تهیه این چنین نقشه‌هایی از سال ۱۹۲۷ توسط نقشه برداری هوایی انجام و این روش تا سال ۱۹۸۰ تنها روش اقتصادی مورد استفاده معرفی می شد. با این وجود تهیه نقشه‌های خطوط ساحلی حتی در مقیاس‌های کوچک نیاز به تعداد کثیری از عکس‌های هوایی دارد. علاوه بر آن در روش عکس برداری هوایی گردآوری، تصحیح، تحلیل و انتقال اطلاعات از عکس به نقشه کاری زمان‌بر و پرهزینه است. از دیگر معایب استفاده از عکس‌های سیاه و سفید تمایز اندک انعکاس آب و خشکی است. این مسئله به خصوص در نواحی گل‌آلود حادث می گردد. به علاوه عکس‌ها و نقشه‌های مشتق شده از آن‌ها همگی غیر رقومی بوده و از این رو از کارایی لازم برخوردار نمی باشند. تبدیل این طلاعات به فرمت رقومی کاری وقت‌گیر، هزینه بر و پرخا است. هندسه پیچیده خطوط سواحل و الگوهای غیر موزون سبب اعمال خطاهای بیشتر در فرایند رقومی سازی می گردند. موارد ذیل را می توان از دیگر مشکلات استفاده از عکس‌های هوایی نام برد:

- ۱- دقت کم هندسی،
- ۲- پوشش زمینی محدود عکس‌ها،
- ۳- تجهیزات گران ۴- نیاز به تخصص بالا،
- ۵- هزینه بالای به هنگام سازی .

از سال ۱۹۷۲، ماهواره‌های سنجش از دور از قبیل لندست تصاویر رقومی از محدوده طیفی مادون قرمز را در اختیار کاربران قرار می دهند. در این محدوده تمایز آب و خشکی به راحتی صورت می پذیرد. از این رو تصاویر سنجش از دور و

فناوری‌های پردازش تصاویر می‌توانند سبب کاهش مشکلات فوق گردند (Winarso, *et al*, 2001).

ناحیه مورد مطالعه

ناحیه مورد مطالعه دریاچه ارومیه است که در حد فاصل طول‌های جغرافیایی ۴۵ تا ۴۶ درجه شرقی و عرض‌های جغرافیایی ۳۷ تا ۳۸/۵ درجه شمالی واقع شده است. این دریاچه بیستمین دریاچه بزرگ دنیا و دومین دریاچه به لحاظ شوری است. از طرف دیگر وسیع‌ترین دریاچه داخلی کشور با مساحت تقریبی نیم میلیون هکتار می‌باشد (جبارلو شبستری، ۱۳۷۸). ارتفاع این دریاچه از سطح دریاهای آزاد به طور متوسط ۱۲۷۶ متر است که در نیم قرن گذشته نوسانی در حدود ۴ متر داشته است. این دریاچه دارای ۱۰۲ جزیره کوچک و بزرگ بوده که بزرگترین این جزایر هم‌اکنون به خشکی پیوسته است. عمق آب دریاچه بین ۵ تا ۱۶ متر متغیر و متوسط آن شش متر گزارش شده است. این دریاچه در سطح ملی یک پارک ملی محسوب شده و در سطح بین‌المللی در فهرست یونسکو به ثبت رسیده است (Birkett, *et al*, 1995). از طرف دیگر این دریاچه جزو تالاب‌های بین‌المللی کنوانسیون رامسر و از نظر تنوع زیستی در فهرست مناطق مهم بین‌المللی پرندگان به ثبت رسیده است.

داده‌ها و نرم‌افزارهای مورد استفاده

داده‌های مورد استفاده در این تحقیق عبارتند از ۹ شیت تصویر TM و ETM+ از دریاچه ارومیه که سه شیت مربوط به سال ۱۹۸۹، سه شیت مربوط به

سال ۱۹۹۸ و سه شیت مربوط به سال ۲۰۰۱ میلادی است. علل استفاده از این تصاویر مختلف است که از آن جمله می‌توان به دارابودن شش باند در محدوده مرئی و مادون قرمز انعکاسی و نیز اندازه پیکسل سایز متری اشاره نمود که آن را جزو سنجنده‌های با قدرت تفکیک متوسط قرار داده است. چنین سنجنده‌هایی همچون پلی میان سنجنده‌های با قدرت تفکیک بالا (مثل اسپات ۵) و سنجنده‌های با قدرت تفکیک پایین (مثل WIFS) عمل می‌نمایند. به منظور زمین مرجع نمودن تصاویر از ۳۲ شیت نقشه ۱:۵۰۰۰۰ منطقه استفاده به عمل آمد.

جدول زیر نمایانگر قدرت تفکیک طیفی و مکانی این سنجنده‌ها می‌باشد.

جدول شماره ۱: قدرت تفکیک فضایی و طیفی سنجنده‌های لندست ۷

ETM+ و لندست ۵ TM

شماره باند	محدوده طیفی (Microns) ETM+/TM	قدرت تفکیک فضایی (meter) ETM+/TM
1	.45 to .515 / .45 to .52	30
2	.525 to .60 / .52 to .60	30
3	.63 to .69 / .63 to .69	30
4	.75 to .90 / .76 to .90	30
5	1.55 to 1.75/1.55 to 1.75	30
6 (L/H)	10.4 to 12.5/10.5 to 12.4	60 / 120
7	2.09 to 2.35/2.08 to 2.35	30
Pan	.52 to 90 / Nil	15 / Nil

به منظور تعیین ارتباط بین تغییرات سطحی و ارتفاعی دریاچه اطلاعات ارتفاعی ماهواره TOPEX/POSIDON مورد استفاده قرار گرفت. کلیه پردازش‌ها در این تحقیق با استفاده از نرم‌افزار ENVI 3.5 و ERMapper صورت پذیرفت.

بررسی روش‌های متداول استخراج خطوط ساحلی از تصاویر ماهواره‌ای

روش‌های متعدد و مختلفی جهت استخراج خطوط ساحلی از تصاویر اپتیک به کار گرفته شده است (Chen, *et al*, 1998). با توجه به این که انعکاس آب در باندهای مادون قرمز انعکاسی بسیار کم و نزدیک به صفر است، خط ساحلی را می‌توان تنها با استفاده از یک باند (به طور مثال با استفاده از آستانه‌گذاری روی باند ۴ یا باند ۵ سنجنده ETM+ یا TM) استخراج کرد. از میان شش باند طیفی سنجنده TM، باند مادون قرمز میانی (باند ۵) بهترین تمایز خشکی و دریا را دارا است. در این باند هیستوگرام تصویر دارای دو بیشینه متمایز می‌باشد که مقدار حد آستانه بین این دو انتخاب می‌گردد. این گزینه برای جداسازی زمین‌های بسیار مرطوب از آب از دقت مناسبی برخوردار نمی‌باشد. به علاوه در نواحی ساحلی‌ای که عمقی کمتر از یک متر دارند انعکاسات کف آب به سنجنده رسیده و یافتن حد آستانه را در باند ۵ یا باند ۷ با مشکل روبرو می‌سازد (Ghorbanali, 2004). وجود ذرات معلق در آب و گل‌آلودگی آن در مناطق ساحلی نیز از دیگر معضلاتی است که یافتن خط ساحلی را با استفاده از تنها یک باند مشکل می‌سازد. از این‌رو بسیاری از پژوهشگران استفاده از نسبت بین باندها را پیشنهاد نموده‌اند (Kelley, *et al*, 1998). معمول‌ترین فرمول مورد استفاده نسبت باند ۵ به باند ۲ است. به این مفهوم که هر جا این نسبت

کوچک‌تر از یک بود آب و در غیر این صورت خشکی قلمداد شود. از این نسبت به عنوان الگوریتم جداسازی آب از خشکی در نرم‌افزار ERmapper استفاده شده است. ولی در صورتی که این فرمول روی ساحلی که دارای انواع مختلفی از پوشش زمینی است مورد استفاده قرار گیرد اشتباهاً بعضی از خشکی‌های پوشیده شده با گیاه را جزو آب طبقه‌بندی می‌نماید. به این فرمول شرط دیگری که نسبت باند ۴ به ۲ (این نسبت در آب کمتر از یک است زیرا در نواحی ساحلی تمایز پوشش گیاهی و آب دقیق‌تر از خاک و آب است) را نیز می‌توان افزود تا دقت را بهبود بخشید. (Winarso, *et al*, 2001). چنانچه هدف استخراج سریع خطوط ساحلی از تصاویر باشد روش مذکور روش مناسبی است. خودکارسازی این روش نیز عملی است و از این رو برای کشورهایی که خط ساحلی طولانی‌ای دارند و یا به نقشه خطوط ساحلی به روز شده احتیاج دارند؛ روش مناسبی است. چنانچه دقت، مهمتر از سرعت باشد این روش غیر مناسب است.

آلگوریتم‌های پیشنهادی

تعامل پیچیده آب و خشکی در سواحل دریاچه ارومیه و نیاز به دقت بالا در خروجی نهایی سبب می‌گردد تا روش‌های فوق کارآمد نباشند. از این رو در این تحقیق دو آلگوریتم پیشنهاد شده است. روش اول بر اساس تولید ترکیب رنگی کاذب و ویرایش است. بهترین ترکیب رنگی برای ویرایش خط ساحلی ترکیب رنگی RGB543 است که ضمن آن که مرز میان آب و خشکی را بهتر ظاهر می‌نماید، به ترکیب رنگی واقعی سطح زمین نیز بسیار نزدیک است. به علاوه، باندهای طیفی فوق

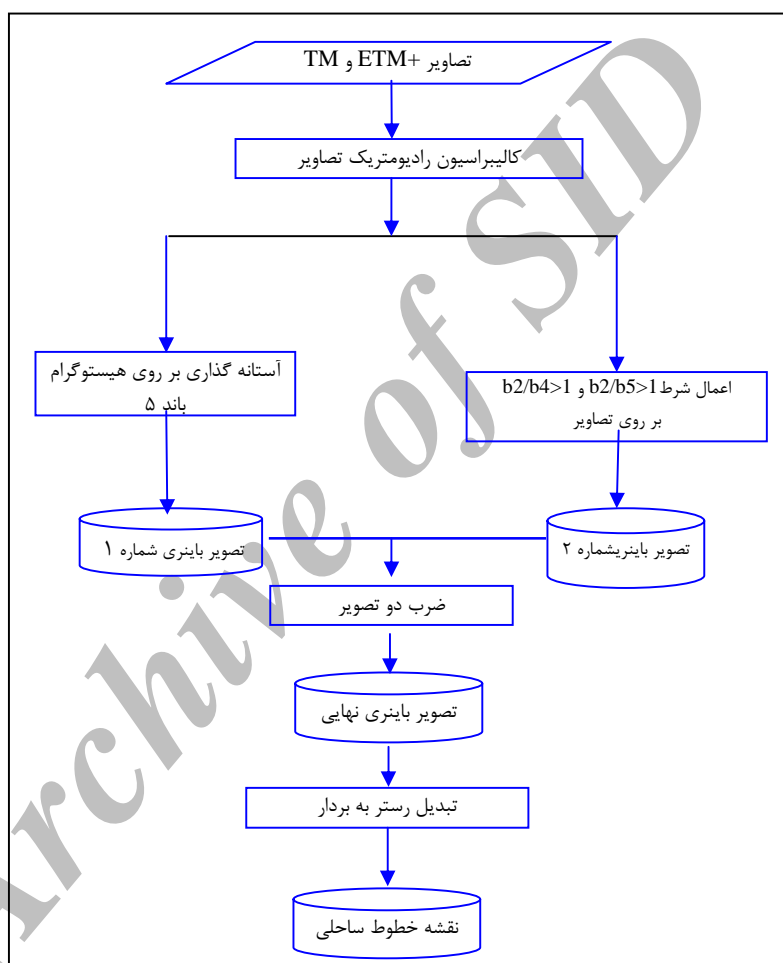
از همبستگی کمی برخوردار هستند و از این رو حاوی اطلاعات بیشتری می‌باشند (Moore, 2000). با این وجود این روش وقت‌گیر و نیازمند ویرایش فراوانی است. روش دوم از آستانه‌گذاری بر روی باند ۵ و نسبت بین باندها جهت تمایز آب از خشکی بهره می‌برد. مقدار آستانه در این روش به گونه‌ای انتخاب می‌گردد تا کلیه پیکسل‌های آب و اغلب پیکسل‌های خشکی متمایز گردند. در این حالت تنها برخی از پیکسل‌های خشکی به اشتباه طبقه‌بندی می‌گردند. این واقعیت برای پیکسل‌های آب اتفاق نمی‌افتد. به پیکسل‌های آب عدد صفر و به پیکسل‌های خشکی عدد یک نسبت داده می‌شود تا یک تصویر باینری (تصویر شماره یک) تولید شود. تصویر حاصل از نسبت بین باندها نیز به روش مشابه باینری شده تا تصویر شماره ۲ ایجاد گردد. حاصل ضرب دو تصویر فوق تصویر باینری خواهد بود که خطوط ساحلی را به دقت نمایش می‌دهد.

متدلوژی

شکل شماره ۱ نمایانگر فلوچارت پیشنهادی جهت استخراج خطوط ساحلی است. در آغاز ۹ شیت تصویر موجود با در نظر گرفتن آزیموت و زاویه ارتفاعی خورشید از نظر رادیومتریکی تصحیح گردید. سپس آستانه‌گذاری به نحوی صورت پذیرفت تا پیکسل‌های خشکی به جای آب انتخاب نگردد. لیکن پیکسل‌های مختلط یا پیکسل‌هایی که به آب بودن آنها اعتماد بود به عنوان پیکسل‌های آب به الگوریتم معرفی گردیدند. تصاویر ۱ و ۲ مطابق الگوریتم پیشنهادی تهیه و در هم ضرب شدند. در نهایت بر روی تصویر باینری عمل تبدیل رستر به بردار صورت پذیرفت تا خطوط

ساحلی سال‌های مختلف به صورت یکسری لایه‌های برداری درآیند. بعد از تبدیل رستر به بردار، تصاویر هر یک از سال‌ها با استفاده از نقشه‌های ۱:۵۰۰۰۰ زمین مرجع و موزاییک شدند. شکل‌های شماره ۲، ۳ و ۴ به ترتیب تصویر موزاییک شده دریاچه ارومیه را در سال‌های ۱۹۸۹، ۱۹۹۸ و ۲۰۰۱ با ترکیب رنگی RGB ۵۴۳ نشان می‌دهند. شکل شماره ۵ خطوط ساحلی استخراج شده از هر یک از این سال‌ها را نشان می‌دهد.

با مشاهده شکل ۵ مشخص می‌شود که در بازه نه ساله ۱۹۸۹ تا ۱۹۹۸ خط ساحلی تغییر عمده‌ای نداشته است. از آنجاییکه سطح آب کمی بالا آمده لذا خط ساحلی با توجه به شیب منطقه کمی جلو آمده و در نتیجه برخی مناطق، خصوصاً سواحل شرقی و جنوبی زیر آب رفته است. بر عکس در فاصله زمان‌های ۱۹۹۸ تا ۲۰۰۱ خط ساحلی تغییر زیادی کرده که در اثر کاهش ارتفاع بوده است. این امر سبب شده بخش‌های زیادی از دریاچه به خصوص در نواحی جنوبی و شرقی خشک شود و حتی بزرگ‌ترین جزیره این دریاچه به خشکی متصل شده است. مساحت دریاچه در سال‌های ۱۹۹۸ و ۲۰۰۱ معادل ۵۶۵۰ و ۴۶۱۰ کیلومترمربع برآورد گردید.



شکل ۱؛ فلوچارت استخراج خط ساحلی از تصاویر TM و ETM+



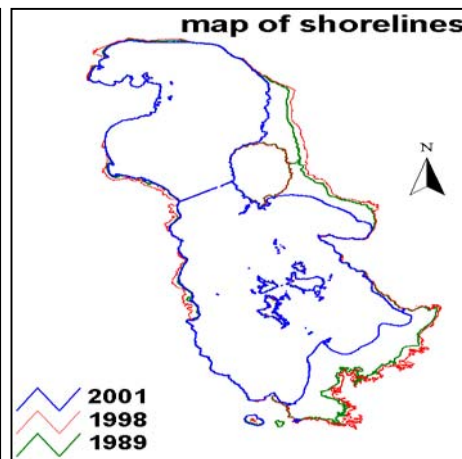
شکل ۳: تصویر موزاییک شده دریاچه ارومیه در آگوست ۱۹۹۸ ترکیب رنگی RGB(543)



شکل ۲: تصویر موزاییک شده دریاچه ارومیه در ژوئن ۱۹۸۹ ترکیب رنگی RGB(543)



شکل ۴: تصویر موزاییک شده دریاچه ارومیه در آگوست ۲۰۰۱ ترکیب رنگی RGB(543)

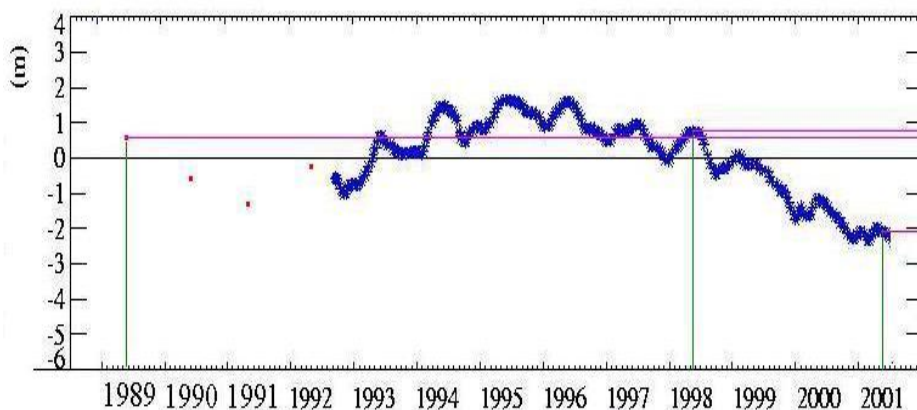


شکل ۵: نقشه خطوط ساحلی دریاچه ارومیه در ، ۱۹۸۹ و ۱۹۹۸ ، و ۲۰۰۱

چون نقشه واقعیت زمینی مناسبی برای اندازه‌گیری دقت خطوط ساحلی تولیدشده به روش نیمه اتوماتیک فوق وجود نداشت، لذا باتولیدیک تصویر واقعیت زمینی، دقت خط ساحلی تولیدشده برآورد گردید. به منظور تولید تصویر واقعیت زمینی، باند پانکروماتیک تصویر ETM+ با باندهای چند طیفی این سنجنده با استفاده از روش آنالیز مؤلفه‌های اصلی (PCA) تلفیق گردید. سپس خطوط ساحلی با استفاده از تفسیر بصری تصویر رسم شد. از مقایسه این خط ساحلی با خط ساحلی به دست آمده از روش نیمه اتوماتیکی که پیشاپیش توضیح داده شد دقت خط ساحلی $1/3$ پیکسل برآورد گردید.

مقایسه تغییرات سطح دریاچه ارومیه با ارتفاع آن

به منظور مقایسه و یافتن ارتباط بین تغییرات سطح و ارتفاع دریاچه ارومیه داده‌های ارتفاعی ماهواره TOPEX/ POSEIDON مورد استفاده قرار گرفت. شکل شماره ۶ تغییرات ارتفاعی سطح دریاچه ارومیه را که از داده‌های ماهواره‌ای محاسبه شده ارائه می‌نماید. به دلیل عدم دسترسی به داده‌های ماهواره‌ای در بازه زمانی ۱۹۸۹ تا ۱۹۹۳ از اطلاعات ارتفاعی حاصل از شاخص عمق یاب استفاده شد (شکل ۶). شکل شماره ۶ نشان می‌دهد که تغییر ارتفاعی دریاچه ارومیه در ژوئن ۱۹۸۹ و آگوست ۱۹۹۸ معادل $0/2$ متر می‌باشد. این مقدار در مقایسه با تغییرات فصلی دریاچه ناچیز است. در مقابل، این تغییر معادل ۳ متر از آگوست ۱۹۹۸ تا آگوست ۲۰۰۱ برآورد شد.



شکل ۶: تغییرات ارتفاعی دریاچه ارومیه در بازه زمانی ۱۹۸۹ تا ۲۰۰۱

با توجه به این که تغییرات جزر و مد دریاچه بسیار کم و قابل صرف نظر کردن است، تغییرات ارتفاعی و خطوط ساحلی دریاچه مستقل از جزر و مد فرض گردیده و این تغییرات به کاهش آب ورودی نسبت داده شده است.

نتایج

آستانه گذاری بر روی هیستوگرام تصاویر از جمله روش های معمول می باشد که می توان با استفاده از آن خط ساحلی را تنها با استفاده از یک باند مرئی و یا مادون قرمز انعکاسی استخراج نمود. از آنجایی که بازتاب نور مرئی در این باندها از ناحیه کف دریاها تا حدی به سنجنده می رسد؛ این روش برای جدا کردن مرز بین آب و خشکی در نواحی کم عمق مناسب نیست.

با توجه به این موضوع که انعکاس آب (در مقایسه با سایر پدیده ها) در باندهای مادون قرمز انعکاسی بسیار کم و نزدیک به صفر می باشد؛ لذا برای استخراج

خط ساحلی، عمل آستانه‌گذاری روی یکی از باندهای مادون قرمز انعکاسی صورت می‌گیرد. لازم به ذکر است که انتخاب مقدار آستانه عملی مشکل است زیرا جداکردن زمین‌های بسیار مرطوب از آب امکان‌پذیر نیست و یا کم‌دقت می‌باشد. اگر چه این روش از دقت بالایی برخوردار نیست اما به راحتی می‌توان آن را خودکار نموده و سرعت استخراج را بالا برد. استفاده از نسبت بین باندها برای استخراج خطوط ساحلی نیز با مشکلاتی همراه است. زیرا استفاده از این نسبت‌ها (به طور مثال باند ۵ به ۲) در سواحل که از پوشش‌های مختلف گیاهی برخوردار باشند نتایج قابل‌قبولی ندارد. با توجه به این مشکلات و طبیعت پیچیده سواحل دریاچه ارومیه الگوریتم نوینی در این تحقیق ارائه و مورد آزمون قرار گرفت. این روش بر اساس ترکیب دو روش آستانه‌گذاری و نسبت بین باندها است. در این تحقیق خطوط ساحلی سال‌های ۱۹۸۹ و ۱۹۹۸ و ۲۰۰۱ دریاچه ارومیه استخراج و مشخص گردید که دریاچه ۹ ساله ۱۹۸۹ تا ۱۹۹۸ خط ساحلی تغییر عمده‌ای نداشته است. این تغییرات در فاصله سال‌های ۱۹۹۸ تا ۲۰۰۱ بسیار شدید بوده به نحوی که حدود ۹۴۰ کیلومتر مربع از سطح دریاچه به خشکی تبدیل شده است. نتایج حاصل از الگوریتم ابداعی با نقشه‌های مرجع مقایسه گردید. دقت خطوط ساحلی استخراج شده در این الگو ریتیم ۱/۳ پیکسل برآورد شد. تغییرات ارتفاعی دریاچه در سال‌های ۱۹۸۹ تا ۲۰۰۱ از داده‌های ماهواره، IDON TOPEX/POS محاسبه گردید. اگر چه این تغییرات در بازه زمانی ۱۹۸۹ تا ۱۹۹۸ کم هستند این تفاوت در سال ۱۹۹۸ و ۲۰۰۱ معادل ۳ متر برآورد شد.

منابع و مآخذ

- ۱- جبارلو شبستری، ب. ۱۳۷۸ دریاچه ارومیه، اشک طبیعت ایران. انتشارات نقش مهر
2. Alesheikh, A.A, F. Sadeghi Naeeni, and A. Talebzadeh, "Improving Classification Accuracy using External Knowledge" GIM International, Aug. 2003, Vol. 17, No. 8. Pp. 12-15, 2003.
3. Birkett, C., and I. Mason. "A new global lakes database for remote sensing programme studying climatically sensitive large lakes". Journal of Great Lakes Research, 21 (3) 307-318, 1995.
4. Chen, L. C., and Shyu, C. C., "Automated Extraction of Shorelines from Optical and SAR Images", Proceeding of the 19th Asian Conference on Remote Sensing, Manila, pp. R-13-1~R-13-6, 1998.
5. DeWitt H., JR. Weiwen Feng, "Semi-Automated Construction of the Louisiana Coastline Digital Land-Water Boundary Using Landsat TM Imagery", Louisiana's Oil Spill Research and Development Program, Louisiana State University, Baton Rouge, LA 70803, 2002.
6. Ghorbanali, A., "Coastline Monitoring by Remote Sensing Technology" MSc thesis. Department of GIS Engineering, KNT University of Technology, Tehran, Iran, 2004.
7. Jupp, D.L.B., "Background and extensions to depth of penetration (DOP) mapping in shallow coastal waters". Proceeding of the symposium on remote sensing of coastal zone, Gold Coast, Queensland, September 1988, IV.2.1-IV.2.19, 1988.
8. Kelley, John G.W., J.S. Hobgood, K.W. Bedford, D.J. Schwab, "Generation of Three-Dimensional Lake Model Forecasts for Lake Erie", Journal of Weather and Forecasting, Volume 13, 1998.
9. Moore, L.J., "Shoreline mapping techniques", Journal of Coastal Research, 16(1), 111-124. Royal Palm Beach (Florida), ISSN 0749-0208, 2000.

10. Winarso, G. and S. Budhiman, "The potential application of remote sensing data for coastal study", Proc. 22nd Asian Conference on Remote Sensing, 2001.

Archive of SID